

II-313 パイプ型潜堤の効果に関する実験的研究

大阪府立工業高等専門学校 正員 ○平山 秀夫
 大阪市立都島工業高等学校 正員 福島 博行

1. はしがき; 近年, 「ウォーターフロント」の開発が脚光を浴び, 人間を主体としたより文化的な環境保全とレクリエーションの場の確保のため, 砂浜海岸をはじめ海岸地域の保全と環境整備に力点が置かれるようになってきている。一方で, 離岸堤の景観上の問題がクローズアップされはじめ, それに代わる新たな構造物の開発に関する研究がなされている。本研究は, このような観点から, 潜堤を離岸堤に代わる侵食対策工法として考えたときの利点欠点を明確にしようとするものであって, 特にここでは, 堆砂機構に着目し, モデル堤として高さ, 空隙率などの堤の諸条件を変化させる

ことが容易なパイプ式潜堤を用いて, 堤の相対水深 R/h (R : 天端上水深, h : パイプ式潜堤設置位置水深) と地形変化の関係および堤の空隙率の変化とそれに伴う堤内堆砂量やその他の地形変化の関係を明らかにするとともに, 着色砂を用いて底質の移動特性を把握しようとするものである。

2. 実験方法及び解析方法; (1) 実験方法: 実験は, 片面ガラス張りの鋼製大型造波水槽(長さ21m, 幅70cm)を用い,

初期勾配1/20の移動床模型海浜($d_{50}=0.2\text{mm}$, 厚さ15cm, 長さ10m)を設置し, 水平床部での水深を常時40cmに設定し, 入射波高 $H_i=8.5\text{cm}$, 周期 $T=1.0\text{sec}$ (侵食型の波)の実験波浪のもとに行った。パイプ式潜堤モデルは, アルミニウム製パイプ(外径18mm, 内径15mm, 長さ30cm)を千鳥状に数段積み上げて潜堤モデル(潜堤長70cm, 潜堤幅30cm)とし, 相対水深 R/h および空隙率 ϕ を表-1に示す実験条件に従って変化させて実験を行った。また, パイプ式潜堤の設置位置は, その長さ方向の中心線が汀線と平行になるような位置で, かつその中心は, 1/20一様勾配時における静水時の汀線を基準として, 汀線から砕波点までの距離(X_0)と汀線からパイプ式潜堤の中心までの距離(X)との比, すなわち X/X_0 が0.5となる地点を選んだ。測定は, 実験開始時刻からの経過時間が $t=0, 0.5, 1, 2, 3, 5\text{hr}$ に達する毎に, 堤内外の地形および波高を測定し, さらに汀線形状や堤沈下量の測定も行なった。一方, 着色砂による可視化実験は, 堆砂効果が最も良好な実験条件(実験 No. IV)を再現して, 青, 赤, 緑の3種類の着色砂を堤の前面, 後面および汀線付近に数並べて実験を実施し, 堤設置後30分, 1時間, 2時間, 3時間および5時間経過後における着色砂の移動拡散状況を青, 赤, 緑の各色ごとに分け, 目視観測によって定性的に調べた。

(2) 解析方法: 実験で得られた諸量からパイプ式潜堤の透過率(堤後面波高と堤沖側波高の比), 汀線の平均変動量及び堤内外の土砂量等を算出した。特に土砂量の変化量は①従来と全く同様にして, 等堆積・侵食高線から両端面公式を適用して土量変化を求める方法, ②地形変化の各測定点での実測値から断面法及び点高法(メッシュの切分の仕方によって長方形法と三角形法がある。), の2方法を用いて算定した。

3. 実験結果および考察; (1)パイプ式潜堤の消波効果: 図-1は, 透過率とパイプ式潜堤の空隙率の関係

表-1 実験条件一覧表

実験番号	波浪条件				堤条件			
	周期 T(sec)	入射波高 H _i (cm)	入射波長 L _i (cm)	波形勾配 H _i /L _i	堤高さ S(cm)	設置位置水深 h(cm)	相対水深 R/h	空隙率 φ
I	1.0	8.5	146.3	0.0581	7.2	12.7	0.433	0.53
II	〃	〃	〃	〃	8.8	12.0	0.267	0.53
III	〃	〃	〃	〃	10.9	12.0	0.092	0.53
IV	〃	〃	〃	〃	7.2	12.7	0.433	0.27
V	〃	〃	〃	〃	9.3	11.7	0.205	0.27
VI	〃	〃	〃	〃	10.6	13.0	0.185	0.27
VII	〃	〃	〃	〃	7.9	12.9	0.368	0.17
VIII	〃	〃	〃	〃	9.7	14.0	0.307	0.17
IX	〃	〃	〃	〃	11.0	13.6	0.191	0.17
C	〃	〃	〃	〃	7.2	12.7	0.433	0.27

(注) 実験番号Cは着色砂を用いた可視化実験

表-2 算定方法の相違による土量変化量の比較

実験番号	堤内埋砂量(cm^3)				Q/X (%)
	三角形公式	長方形公式	断面法	平均埋砂量	
I	-4,621.6	-4,566.7	-4,574.5	-4,587.6	-0.234
II	-5,923.4	-6,044.4	-5,492.7	-5,819.7	-0.277
III	-7,899.3	-8,133.4	-8,250.0	-8,094.2	-0.413
IV	-2,025.6	-2,144.7	-2,262.6	-2,144.3	-0.113
V	-2,947.7	-2,838.4	-2,530.8	-2,772.3	-0.152
VI	-7,366.3	-7,284.1	-7,259.3	-7,303.9	-0.373
VII	-3,116.1	-2,849.8	-3,215.9	-3,030.6	-0.146
VIII	-2,929.8	-3,014.5	-2,577.6	-2,840.6	-0.113
IX	-3,059.1	-3,082.5	-3,073.6	-3,071.7	-0.142
C	-2,580.7	-2,423.1	-2,369.0	-2,460.9	-0.126

注: 実験番号Cは着色砂による可視化実験
 表中の負の符号は侵食量を意味する。

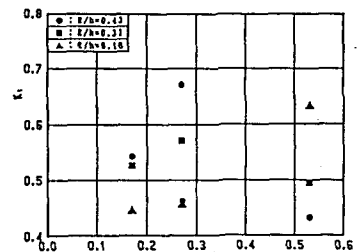


図-1 空隙率と透過率の関係

を示したもので、この図からあまり明確ではないが、ほぼ常識通りに、空隙率の増大とともに透過率は大きくなっていることが分かる。(2)汀線の変動: 図-2は、相対水深と汀線変動の関係を示すものであり、この図から空隙率により若干の差異はあるものの、相対水深の増大とともに汀線は後退する傾向にあることが認められるが、これは相対水深の増加にともない透過率が大きくなり、パイプ式潜堤の波浪減衰効果が低下したためではないかと考えられる。また、図-3は、空隙率と汀線変動量の関係を示し、この図から、堤の空隙率と汀線の変動量との間には明確な相関関係が認められないが、どちらかと言えば、空隙率の増大とともに汀線が後退する傾向が見られる。(3)着色砂の移動状況: 図-4は堤周辺および汀線付近に配置した着色砂の移動状況をそれぞれ色別

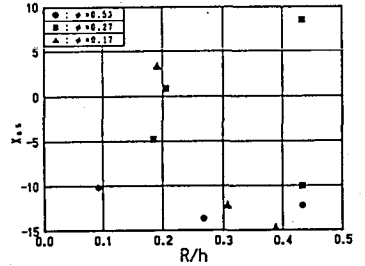


図-2 相対水深と汀線変動量の関係

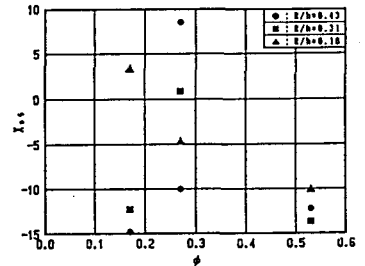


図-3 空隙率と汀線変動量の関係

したものである。この図から、堤沖側周辺の着色砂(青)の移動方向は、沖側へ後退するだけで、他の方向への移動は全く見られず量的にも少ないこと、また、堤岸側周辺の着色砂(赤)の移動方向は、岸側に向かって前進するもの、堤空隙部を通過し沖側に向かって後退するもの、堤岸側で砕波した乱れのエネルギーによって浮遊したものがほぼ全体的に堤外へ流れていくものの3つのタイプに大別でき、堤岸側堤脚部での砕波によって多量の砂が浮遊し堤空隙部および堤天端上を通過して堤外へ流出していることが認められる。一方、汀線付近の着色砂(緑)の移動は、ほとんど認められない。

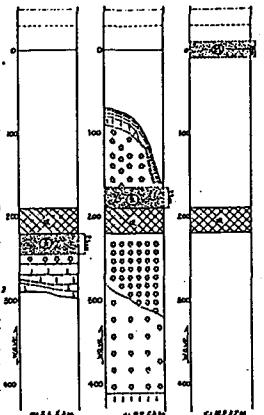


図-4 着色砂の移動状況

(4)堤内土砂変化量: 表-2は、前述のように、土砂量の計算方法の相違による堤内土量変化の推定結果の比較を示したものである。この表から明らかなように、計算方法の違いによって推定値に若干の差異が見られるが、オーダー的にはほぼ同じである。従って、いずれが最適な方法であるということは判断し難いが、本実験のように測定点を多くし、かつメッシュ区分を細かくすれば点高法(三角形法)が合理的であると思われる。図-5は、相対水深と堤内堆砂量

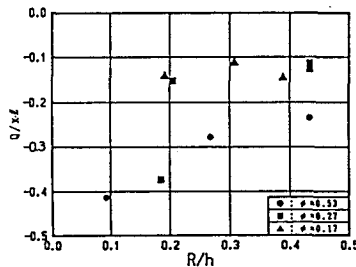


図-5 相対水深と堤内堆砂量の関係

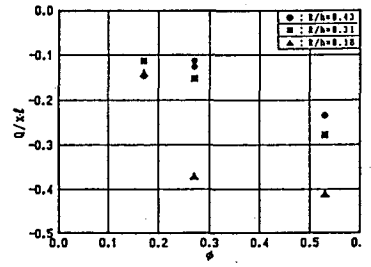


図-6 空隙率と堤内堆砂量の関係

につれて堤内の侵食量が大きくなっている。このように、相対水深が小さくかつ空隙率の増大につれて侵食量が増加する割合が減少することは、着色砂の移動状況をも照らし合わせて考えれば、堤の背後で生起する砕波によって巻き上げられ浮遊した底質が、堤空隙部や堤天端上を透過して堤外に運搬されることによるものではないかと考えられる。

4. まとめ: 以上、本研究で得られた結果を要約すれば、①パイプ式潜堤の消波機能は、従来の潜堤とほぼ一致する、②パイプ式潜堤の設置により堤内侵食量の軽減が可能であり、相対水深の増加によって堤内侵食量を減少させることができるが、空隙率を大きくすれば、逆に堤内侵食は大となる、③堤内の侵食は、潜堤岸側の堤脚部付近が激しい。